

УДК 552.52

ЛИТОЛОГИЯ

М. А. РАТЕЕВ, Б. П. ГРАДУСОВ

ПАРАГЕНЕТИЧЕСКИЙ РЯД СЛОИСТЫХ СИЛИКАТОВ,
СВЯЗАННЫЙ С ПРЕОБРАЗОВАНИЕМ ВИТРОКЛАСТОВ В ЗОНЕ
ГИДРОТЕРМАЛЬНОГО СУЛЬФИДНОГО ОРУДЕНЕНИЯ

(Представлено академиком Н. М. Страховым 1 VII 1969)

В 1964 г. в юго-восточной части Цихисубанского карьера на поверхности уступа (горизонт 285—288 м) были вскрыты довольно крупные скопления сульфидов размером до 1 м и более. Жилы сульфидов, представленные сфалеритом, галенитом, халькопиритом и пиритом, внедрились здесь в андезито-трахитовые туфы, которые вблизи сульфидов сильно глинизированы и обелены. Участки андезито-трахитовых туфов вместе с жилами сульфидов заключены в мощной 200-метровой толще Асканских бентонитов эоценового возраста. Хотя признаки гидротермальной минерализации в виде «серпентинизации», цеолитизации, хлоритизации и окварцевания уже отмечались Г. С. Дзоценидзе⁽¹⁾, Г. А. Мачабели⁽²⁾ и др., но происходящие при этом структурные преобразования витрокластов и их механизм не были расшифрованы. Поэтому нами были выполнены структурные исследования на дифрактометре УРС-50И-М ($\text{Cu } K_{\alpha_{1,2}}$ -излучение, фильтрованное Ni) с построением прямых фурье-преобразований по методу Ю. С. Дьяконова⁽³⁾, с использованием и.-к. спектроскопии и дериватографа. По степени гидротермальных изменений были отобраны четыре группы пород:

Таблица 1
Межплоскостные расстояния и интенсивности базальных отражений смешанно-слойных образований, насыщенных глицерином

Обр. № 192		Обр. № 196		Обр. № 201	
d/n, Å	I	d/n, Å	I	d/n, Å	I
—	—	38	20	38	40
11,03	40	13,04	55	18,9	100
9,77	140	9,59	110	9,35	75
5,16	40	5,31	25	5,65	45
4,86	80	4,75	50	4,62	35
3,38	140	3,40	80	3,46	55
3,26	50	3,16	30	3,09	20
2,50	25	2,51	10	2,52	5
—	—	2,20	5	—	—
1,98	90	1,98	40	1,98	20

1 (обр. № 207): наименее измененные андезито-трахитовые туфы с относительно свежими вкраплениями плагиоклазов, калишпатов, биотита и моноклинного пироксена, заключенными в основной витрокластической массе; последняя замещается гидрослюдой в ассоциации с цеолитами и лейкоксеном. 2 (обр. № 192): более глинизованные туфы с участками пеплово-пемзовидной микроструктуры и частичным изменением не только стекла, но и темноцветных минералов; периферическая часть ячеек вулканического стекла выполняется здесь аутогенным смешаннослойным образованием. 3 (обр. № 196): глинизованные туфы пеплово-пемзовидной микроструктуры со стекловатой массой, нацело замещенной смешанно-слойными минералами с примесью цеолитов и хлорита. 4 (обр. № 201): туфогенная глина с реликтовой пемзовидной микроструктурой; пемзовидные листы замещены смешаннослойным минералом; кроме того, присутствуют сульфиды, биотит, анатаз, лейкоксен.

Гидрослюдя 1-й группы пород имеет рефлексы, характерные по ⁽⁴⁾ для политипной модификации 1М, содержит $K_2O > 8\%$ и $Al_2O_3 > 26\%$ при низком содержании катионов Fe^{3+} , Fe^{2+} и Mg^{2+} . Согласно одномерному синтезу Фурье и параметрам элементарной ячейки (электронографический определения Б. Б. Звягина), она содержит мусковитовые связующие пролойки без признаков лабильных межслоевых промежутков.

Смешанослойные образования 2-й группы пород в воздушно-сухом состоянии образуют максимумы при $10,6$; $5,04$; $3,3 \text{ \AA}$ и др. Наличие монтмориллонитовых межслоевых промежутков выявляется по изменению дифракционного спектра препаратов с этиленгликolem и после прокаливания. Прямое фурье-преобразование, построенное для минерала, насыщенного глицерином, показало (табл. 1, рис. 1), что он состоит из двух пакетов. Высота одного (A) 10 \AA , второго (B) 18 \AA ; общее соотношение пакетов $A : B \approx 90 : 10$. Сочетания BB не встречены, но выявлена значительная роль крупных блоков слюдистых пакетов (в том числе сочетания A^6). Ослабление ряда рефлексов в образце свидетельствует о принадлежности минерала к промежуточной модификации $1M \rightarrow 1Md$, но ближе к $1M$. Уменьшение содержания K_2O до $6,74\%$ отражает наличие в минерале монтмориллонитовых межслоевых промежутков.

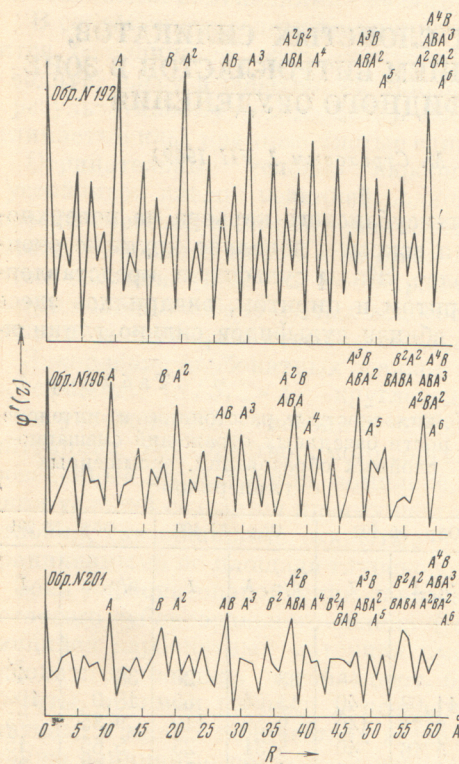


Рис. 1. Фурье-преобразования минералов, насыщенных глицерином. A — гидрослюдистые пакеты, B — набухающие монтмориллонитовые пакеты

таков $A : B \approx 80 : 20$. Сочетания типа BB еще маловероятны. Выделяются высоты пиков с $R = 38$ и 48 \AA , а также 28 и 38 \AA позволяют заключить об упорядоченности по мотивам A^2B и A^3B . Наблюдается дальнейшее ослабление рефлексов ($hk0$) или частичное их исчезновение. Дальнейшее уменьшение K_2O до $5,36\%$, нарастание полос поглощения и.к. спектров (1650 cm^{-1}) и увеличение гидрофильтности указывают на более высокое содержание монтмориллонитовых межслоевых промежутков, что хорошо согласуется с развитием тенденций к переслаиванию по A^2B и A^3B -мотивам, вместо блоковых слюдистых структур.

Фурье-преобразование 4-й группы пород показало примерное соотношение слюдистых и монтмориллонитовых пакетов $A : B \approx 60 : 40$. В отличие от остальных смешанослойных образований в образце не исключены сочетания BB ($R = 35$ — 36 \AA). Характерны сочетания AB и A^2B ; при полностью упорядоченной системе и значениях $P_A = 0,60$ и $P_B = 0,40$ высота AB должна быть равна $0,48$. В действительности же при различных уровнях отсчета она больше $0,55$. Аналогичную картину мы получили и

для высоты пика A^2B . Следовательно, в переслаивании пакетов слюдистого и монтмориллонитового типа возможно наличие некоторой тенденции к упорядоченности по мотивам AB и A^2B . Образец содержит минимум K_2O (3,55%) и дает мало линий ($hk0$) серии. Трехэтажные слои его, по существу, могут быть отнесены к типу $1Md$ ⁽⁴⁾. Минерал 4-й группы пород отличается дальнейшим увеличением количества монтмориллонитовых промежутков и нарастанием тенденций к упорядоченности по мотивам AB и A^2B .

Таким образом, на начальной стадии преобразования витрокластов генерировалась диоктаэдрическая гидрослюдя $1M$, а на последующих — серия промежуточных продуктов гидротермального синтеза, представленных слюда-монтмориллонитовыми смешанно-слойными образованиями с закономерным возрастанием количества монтмориллонитовых пакетов. При этом отмечены следующие особенности механизма структурообразования:

1. Амплитуда различий смешаннослойных фаз не выходят за пределы трехэтажных слоев. 2. Межслоевые промежутки изменяются от связующих слюдистых прослоек из K^+ до монтмориллонитовых промежутков с Ca^{2+} и двумя молекулами воды или с Na^+ и одним слоем воды, через ряд переходных стадий. 3. Промежуточные стадии различны не только количественным соотношением, но и мотивами переслаивания. При этом тенденция к упорядоченности связана либо с развитием блоков из слюдистых пакетов, либо с сочетаниями типа A^2B и A^3B или AB и A^2B . 4. Наконец, при количестве монтмориллонитовых промежутков более 10% уже начинается изменение модификации $1M \rightarrow 1Md$. Направленность генерации от гидрослюды $1M$ к монтмориллониту хорошо согласуется с рядом модификаций «серицитов». $2M_1 \rightarrow 1M \rightarrow 1Md$, установленными Тзутому⁽⁵⁾ для окорудной зоны «roseki».

В генетическом отношении крайне важно, что новообразования слюдистых силикатов в зоне сульфидного оруденения метасоматически замещают вулканическое стекло (а не монтмориллонит) и почти не содержат иных минералов, кроме спорадической примеси хлорита. Замещение вулканического стекла гидрослюдой $1M$ на начальной стадии изменения туфов 1-й группы (при свежести в них калишпатов и биотита) происходило при поступлении более горячих термальных вод, обогащенных щелочными элементами (особенно K^+). Последующее остыивание термальных вод и затруднение фильтрации их через породы вело к дефициту катионов K^+ и благоприятствовало генерации смешаннослойных минералов.

Обогащение калием гидротермальных растворов — типичное явление, связанное с эндогенными факторами. Так, С. И. Набоко⁽⁶⁾ указывает, что количество K , Li , Ce и Rb , выпесенное термальными водами за время существования гидротермальных систем, настолько велико, что их источником не могут быть вмещающие породы. При этом важно подчеркнуть, что повышенное содержание этих элементов наблюдалось в наиболее высокотемпературных водах натро-калиево-кальциево-хлоридного типа. Представление о концентрации K^+ и о pH гидротермальных растворов, из которых синтезировались изученные нами слоистые силикаты, мы можем пока составить по данным А. А. Попова⁽⁷⁾, полученным для окорудных изменений полиметаллического месторождения Уч-Очак. Для парагенеза серицит — галенит автор по жидким включениям в сульфидах (приняв за среднюю температуру образования мезо- и эптермальных полиметаллических месторождений 200°) определил диапазон отношения $K^+/H^+ = 2 \cdot 10^{-4} - 2 \cdot 10^{-6}$ гион/л. Эти данные соответствуют интервалу pH 3,7—5,7 гидротермального раствора, генерировавшего серицит (в нашем случае гидрослюду $1M$). При понижении температуры калийсодержащих гидротермальных растворов до интервала 50—100° и переходе их от хлоридного к карбонатному типу развиваются минералы группы монтмориллонита и анальцима⁽⁶⁾. В эту фазу минералообразования, следующую у нас, по-

видимому, непосредственно за гидрослюдой 1М, при постепенном снижении концентрации щелочных катионов и активизации в растворах ионов Mg^{2+} и Si^{4+} витрокласты начинают замещаться смешаннослойными образованиями слюда-монтмориллонитового типа. Верхняя t -граница этой фазы совпадает с установленной Е. К. Лазаренко и др. (8) методом минералогической термометрии для парагенезиса аллевардит — кварц. Такой ход метасоматоза вызывается дефицитом катиона K^+ , которого в этой фазе не хватает для постройки связующей слюдистой прослойки, в силу чего последние начинают чередоваться с монтмориллонитовыми межслоевыми промежутками. При образовании упорядоченных переслаиваний слюдистого и монтмориллонитовых пакетов Ca^{2+} всегда входит в межслоевое пространство вместе с молекулами воды, Na и K^+ выполняют жесткие промежутки (8). Такое поведение связано с их энергией гидратации, которая для калия минимальна. Na^+ , имеющий большую, чем K^+ , энергию гидратации и меньший ионный радиус, в состав жестких промежутков входит только при повышенном давлении. Установленный нами парагенетический ряд аутигенных минералов: гидрослюда 1М → смешаннослойные слюда-монтмориллонитовые образования → монтмориллонит, вероятно, связан с зональностью растворов, подобной той, которая возникает в метасоматических колонках Коржинского (9).

Мы не рассматриваем здесь отношение этого процесса, прослеженного на туфах, к формированию всей толщи бентонитов Асканы, возникшей из родоначального пеплово-пемзового материала. Наш ряд минералообразования от гидрослюды к монтмориллониту (при дефиците K^+) обратен ряду, установленному в эпигенезе В. Д. Шутовым, В. А. Дрицем и Б. А. Сахаровым (10). Ряд структурного преобразования монтмориллонита в гидрослюду (развитого по кислой вулканокластике угленосных отложений Караганды), а также через аналогичные промежуточные фазы упорядоченных смешаннослойных образований типа ректорита, по данным указанных авторов, возникает в условиях прогрессивного высвобождения катионов K^+ из терригенных минералов по мере изменения термодинамических факторов с глубиной при принципиально ином механизме формирования упорядоченных смешаннослойных структур.

Таким образом, одновременное изучение рудных компонентов, реликтовых растворов по жидким включениям и слоистых силикатов околоврудных изменений открывает возможность исследования гидротермальной минерализации, как равновесной системы.

Геологический институт
Академии наук СССР
Москва

Поступило
10 VI 1969

ЦИТИРОВАННАЯ ЛИТЕРАТУРА

- ¹ Г. С. Дзоценидзе, Бюлл. МОИП, **23** (1948). ² Г. А. Мачабели, Материалы, VI лаборатории, «Наука», 1965. ³ Ю. С. Дьяконов, Автореф. кандидатской диссертации, ВСЕГЕИ, 1965. ⁴ H. S. Joder, H. P. Eugster Geochim. et cosmochim. acta, **8**, 225 (1955). ⁵ T. Yamamoto, Mineral. Japan., **5**, № 2, 77 (1967). ⁶ С. И. Набокова, Тр. Всесоюзн. вулканол. совещ., «Наука», 1966. ⁷ А. А. Попов, Химия земной коры, «Наука», 1963. ⁸ Е. К. Лазаренко и др., Тез. докл. совещ. по иссл. и использов. глин, 1966. ⁹ Ю. В. Казицын, С. Г. Черноруки и др., ДАН, **173**, № 1, 181 (1967).